

زیست‌چینه نگاری سازندهای سروک و ایلام در میدان نفتی

آب تیمور (چاههای شماره ۱ و ۱۴)

رضا امیدی^(۱)، عباس صادقی^(۲)، محبوبه حسینی بزی^(۳) و نرگس اکبری بس کلایه^(۴)

۱. دانشجو کارشناسی ارشد چینه شناسی و فسیل شناسی، دانشگاه شهید بهشتی، تهران
۲. استاد، عضو هیات علمی دانشگاه شهید بهشتی تهران، دانشکده علوم زمین، گروه حوضه‌های رسوی و نفت
۳. دانشیار، عضو هیات علمی دانشگاه شهید بهشتی تهران، دانشکده علوم زمین، گروه حوضه‌های رسوی و نفت
۴. کارشناس ارشد، شرکت ملی مناطق نفت خیز جنوب

تاریخ دریافت: ۹۶/۰۳/۲۷

تاریخ پذیرش: ۹۶/۰۵/۲۹

چکیده

به منظور مطالعات زیست‌چینهای سازندهای سروک و ایلام در جنوب فروافتادگی دزفول، دو برش تحت‌الارضی در چاههای ۱ و ۱۴ میدان نفتی آب تیمور انتخاب شد. سازند سروک در چاه ۱، ۸۱۲/۹۸ متر و در چاه ۱۴ به دلیل عدم حفاری تا قاعده سازند سروک، ۲۳۴ متر ضخامت دارد و از لحاظ لیتوژوئی به طور عمده از سنگ آهک همراه با میان لایه‌های رسی و دولومیتی تشکیل شده است. مرز زیرین آن در چاه ۱ با سازند کژدمی، هم‌شیب و در چاه ۱۴ به دلیل عدم حفاری نامشخص است؛ ولی مرز بالایی آن در هر دو چاه با سازند ایلام ناپیوسته می‌باشد. سازند ایلام در دو چاه ۱ و ۱۴ به ترتیب ۱۵۱/۷۲ و ۱۳۶ متر ضخامت دارد و از لحاظ لیتوژوئی شامل سنگ آهک و میان لایه‌هایی از آهک‌های شیلی و مارنی و دولومیتی است. مرز بالایی سازند ایلام با سازند گوریی هم‌شیب و همراه با تغییرات قاطع در لیتوژوئی است. در مطالعات با ایوستراتیگرافی ضمن تشخیص ۷۱ گونه متعلق به ۵۷ جنس از فرامیکندها، یک بایوزون (بایوزون ۱) در سازند ایلام و سه بایوزون (بایوزون‌های ۲ و ۳ و ۴) در سازند سروک به اسمی زیر‌شناسایی شد.

Rotorbinella-Pararotalia Assemblage Zone .1

Nezzazatinella picardi-Dicyclina schlumbergeri Assemblage Zone .2

Rotorbinella mesogeensis Total Range Zone .3

Nezzazata-alveolinid Assemblage Zone .4

بر اساس بایوزون‌های شناسایی شده، سن سازند سروک سномانین-تورونین و سازند ایلام سانتونین-کامپانین؟ تعیین شده است.

واژه‌های کلیدی: زیست‌چینه نگاری، سازند ایلام، سازند سروک، میدان نفتی آب تیمور.

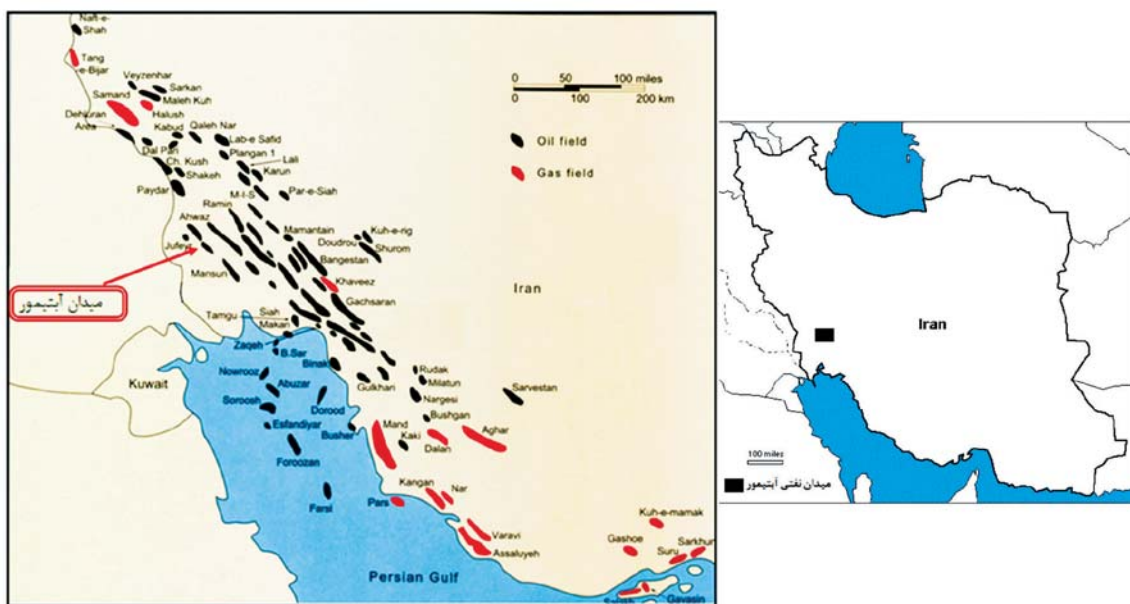
مقدمه

سازندهای سروک و ایلام از گروه بنگستان به عنوان یکی از مهم‌ترین مخازن کربناته پس از سازند آسماری از گسترش

* نویسنده مرتبط: rezaomidi1365@gmail.com

سبکرو، ۱۳۸۷؛ سجادی و امیدوار، ۱۳۹۰). اگرچه تاکنون مطالعات زیادی توسط محققین بر روی دو سازند سروک و ایلام در نواحی مختلف زاگرس صورت گرفته است اما اهمیت بالای مخزنی این دو سازند و مسایل و ابهامات موجود در آنها بهویژه در میادین نفتی سبب شده است تا این مطالعات همچنان در پهنه گسترشی سازندهای مذکور چه در بروز زدهای سطح اراضی و چه در برش‌های تحت‌الارضی ادامه داشته باشد. در همین راستا به منظور کاهش مسایل و ابهامات و تکمیل زنجیره مطالعاتی دو سازند سروک و ایلام، دو برش از آنها در چاههای ۱ و ۱۴ میدان نفتی آب تیمور واقع در ۲۵ کیلومتری جنوب باختری اهواز (شکل ۱) در این تحقیق مورد مطالعات دقیق زیست چینه نگاری قرار گرفته است. همچنین برای افزایش دقت در مطالعه، بخش‌هایی از قاعده سازند گوری و راس سازند کزدمی مطالعه شد.

سورگاه و در فارس ساحلی تحت عنوان بخش لافان قرار دارد که تفکیک این دو سازند را از یکدیگر میسر ساخته است. اما در فروافتادگی دزفول و مناطق بلافصل آن، نیود واحد شیلی سورگاه و لافان در بین دو سازند سروک و ایلام تفکیک آن دو را از یکدیگر مشکل و گاه غیرممکن می‌سازد (مطیعی، ۱۳۸۲). به طوری که در برخی از میادین نفتی چون آغازاری، بی‌بی حکیمه، گچساران، کارون، کوپال، آبتمور و ... دو سازند مذکور روی هم یک مخزن نفتی را تشکیل می‌دهند (مطیعی، ۱۳۸۲). در برخی از نواحی مرکزی فروافتادگی دزفول نیز حرکات تکتونیکی اوخر سنومانین منجر به ایجاد یک ناهمسازی فرسایشی بین دو سازند سروک و ایلام شده، به طوری که فاز فرسایشی بعدازاین حرکات سبب تغییراتی در ضخامت و سن راس سازند سروک از جایی بهجای دیگر شده است (نظرآقایی، ۱۳۶۵؛ آق، ۱۳۸۴؛ کامیابی شادان، ۱۳۸۴؛ اکبربس کلایه و طاهری، ۱۳۸۵؛ چلداوی، ۱۳۸۵).



شکل ۱. موقعیت میدان آب تیمور واقع در فروافتادگی دزفول (شکل سمت چپ) و غرب ایران (شکل سمت راست) (سبکرو، ۱۳۸۷)

تاریخچه

اویند (Wynd, 1965)، طی گزارش شماره 1082 (IOOC 1082) مطالعات بایوستراتیگرافی سازندهای مزوژوئیک و سنوژوئیک زاگرس را به صورت یک مجموعه منسجم و مدون ارائه کرد. اسپیرز (Speers., 1976)، برای

دیگری در مرز سازند سروک و ایلام را شناسایی نمودند.

سنگ چینه نگاری

توصیف سنگ‌شناسی سازندهای ایلام و سروک در چاه‌های ۱ و ۱۴ میدان نفتی آب تیمور بر اساس مطالعه مغزه‌ها و خردنهای حفاری و تفسیر نمودارهای چاه پیمایی و بهویژه لگ گاما صورت گرفته است.

سازند ایلام در دو چاه ۱ و ۱۴ به ترتیب ۱۵۱/۷۳ و ۱۳۶ متر ضخامت دارد و از لحاظ لیتولوزی به طور عمدۀ از سنگ آهک و سنگ آهک با میان لایه‌های شیلی و مارنی تشکیل شده است. مرز زیرین آن در هر دو چاه مورد مطالعه با سازند سروک هم‌شیب و ناپیوسته و مرز بالایی آن با سازند گوری هم‌شیب و همراه با تغییرات لیتولوزی واضح می‌باشد. سازند سروک در چاه ۱ آب تیمور ۸۱۲/۹۸ متر ضخامت دارد و به صورت هم‌شیب همراه با تغییرات لیتولوزی واضح بر روی سازند کرثدمی قرار گرفته است در حالی‌که در چاه ۱۴ به دلیل عدم حفاری تا قاعده سازند سروک فقط ۲۳۸ متر از آن قابل مطالعه بوده است. سازند سروک به لحاظ لیتولوزی در هر چاه به طور عمدۀ از سنگ آهک و دولومیت تشکیل شده است که گاهی میان لایه‌هایی از مارن نیز بهویژه در چاه ۱ در آن دیده می‌شود. مرز بالایی سازند سروک در هر دو برش مورد مطالعه، با سازند ایلام هم‌شیب و ناپیوسته است.

زیست چینه نگاری

در مطالعه زیست چینه نگاری سازندهای سروک و ایلام در برش چاه‌های ۱ و ۱۴ میدان نفتی آب تیمور، ضمن شناسایی ۷۱ گونه متعلق به ۷۵ جنس از فرامینیفرها چهار بایوزون به شرح زیر شناسایی و معرفی شد. گفتنی است که از این چهار چاه زون زیستی، یک زون به سازند ایلام و سه زون به سازند سروک تعلق دارد. در شناسایی فرامینیفرها از منابعی چون Hottinger, 2014; Loeblich and Tappan, 1988; Piuz and Meister, 2013; Premoli Silva and Verga, 2004; Chiocchini et al. 2012; Boix, 2007 استفاده شده است. زون‌های زیستی شناسایی شده با زون‌های زیستی ارائه شده توسط وايند (Wynd, 1965) و مطالعات قبلی نیز مورد تطبیق قرار گرفت.

را با منطقه سميرم ارائه نموده کرده است. کامیابی شادان (۱۳۸۴)، ضمن بررسی تأثیر فاز ساب هرسینین، مرز دو سازند سروک و ایلام در کوه بنگستان را مورد مطالعه قرار داده است. اکبری و طاهری (۱۳۸۴)، بیواستراتیگرافی و سنگ‌شناسی چاه ۱۴ میدان آب تیمور را مطالعه کردند و به تعیین بیوزون‌های استاندارد سازندهای آغازاری تا سروک پرداختند. صادقی و همکاران (۱۳۸۵)، با مطالعه زیست چینه نگاری و سنگ چینه نگاری سازند سروک در برش نمونه در کوه بنگستان و قلعه کرثدمک در شمال اینده، ضمن ارائه آلبوم‌های میکروسکوپی مربوطه و بررسی مرز اشکوب‌ها، دیدگاه نسبتاً جدیدی در مورد کربنات‌های سنومانین راگرس ارائه نموده‌اند. غبیشاوی و رحمانی (۱۳۸۵) طی گزارش شماره پ-۵۹۱۸ با مطالعه رسوبات سازندهای ایلام و سروک در چاه ۱۴ میدان نفتی آب تیمور، ناپیوستگی مشاهده شده را معادل ناپیوستگی تورونین میانی صفحه عربی دانستند و رسوبات کنیاسین در این چاه را معادل با بخشی از زون زیستی ۲۹ در نظر گرفتند. همچنین ناپیوستگی تورونین میانی را محل مناسبی برای مرز سازندهای ایلام و سروک پیشنهاد دادند. قلاوند و همکاران (۱۳۸۶)، طی مطالعه سنگ چینه‌ای و زیست چینه‌ای سازند ایلام در تاقدیس کمستان، شمال غرب ایذه، بایوزون ۳۰ وايند (Wynd, 1965) را از بخش بالای سازند ایلام گزارش نمودند. همچنین برای اولین بار مطرح گردید که بایوزون ۲۹ وايند (Wynd, 1965) در بخش تحتانی سازند ایلام قرار دارد و سن سازند ایلام را کیاسین-سانتونین اعلام نمودند. غبیشاوی (۱۳۸۷) با مطالعه رسوبات سروک، سورگاه و ایلام در تاقدیس بنگستان با احتمال قوی سن بخش سروک فوقانی را سنومانین تا تورونین در نظر گرفت. اميدوار و همکاران (Omidvar et al., 2014)، طی بازبینی مجدد بایوزون‌های فرامینیفری رسوبات کربناته کرتاسه بالایی در فروافتادگی دزفول و یکپارچه‌سازی نتایج حاصل از تحقیقات زیست دیرینه‌ای، رسوب‌شناسی و ژئوشیمی، بر اساس مطالعه کربن ۱۳ و اکسیژن ۱۸ و شواهد کارستی شدن، دو ناپیوستگی، یکی در میانه‌های سازند سروک و

(*Rotalia cf. skourensis*) معرفی نموده است. در حالی که (Boudagher-Fadel et al., 2015; Hottinger, 2014) *Rotalia skourensis* محدوده گسترش به پالغوسن نسبت داده شده است و در طی مکاتبات انجام شده مولف، کاوس (*Caus*) نیز معتقد است که فرم‌هایی که در سازند ایلام به *Rotalia skourensis* نسبت داده شده است صحیح نمی‌باشد و به فرم‌های دیگری از خانواده *Rotalidae* تعلق دارند. مطالعات خسرو تهرانی و همکاران (۱۳۸۸) نیز بر روی خانواده روتالیده در سازند ایلام نشان می‌دهد که نه تنها *Rotalia skourensis* در سازند ایلام وجود ندارد بلکه روتالیدهای موجود در این سازند به جنس‌های مختلفی نظیر *Pyrenerotalia*, *Iberorotalia*, *Pararotalia*, *Rotorbinella* و ... تعلق دارد. در مطالعه سازند سروک و ایلام در دو برش مورد مطالعه نیز کم و بیش جنس‌های مختلف این خانواده مشاهده می‌شود؛ به طوری که در سازند ایلام فرم‌هایی با سطح پشتی بلند، مشابه با جنس *Rotorbinella campaniola* وجود دارد که تمام خصوصیات این گونه را مطابق با آنچه بویکس (Boix, 2007) گزارش نموده است دارا است اما از لحاظ جثه کمی کوچکتر از آنها است. علاوه بر آن، گونه‌های مربوط به *Pararotalia*, *Iberorotalia* و ... نیز وجود دارد که برای تشخیص دقیق آنها نیاز به تهیه نمونه‌های بیشتری از سنگ آهک‌های سازند ایلام است که متناسفانه به دلیل آنکه نمونه‌ها مربوط به چاه است و از محدودیت‌های خاص خود برخوردار است و تهیه مقاطع جدید نیز امکان‌پذیر نمی‌باشد؛ لذا در این تحقیق به پیشنهاد یک بایوزون تجمعی برای سازند ایلام در برش‌های مورد مطالعه تحت عنوان *Rotorbinella*- *Pararotalia* ass. Zone اکتفا شد تا با مطالعات بعدی بر روی سازند ایلام در دیگر برش‌های سطح الارضی و تحت‌الارضی بتوان زون‌بندی مناسب و دقیق‌تری بر اساس جنس و گونه‌های مختلف خانواده روتالیده ارائه کرد.

بایوزون ۲

Biozone 2- *Nezzazatinella picardi-Dicyclina schlumbergeri Assemblage Zone*

این زون تجمعی که منطبق با زون زیستی ۲۹ وايند *Valvulammina-Dicyclina* (Wynd, 1965) تحت عنوان

بایوزون ۱

Biozone1- *Rotorbinella-Pararotalia Assemblage Zone*

این زون زیستی بر اساس اجتماع گونه‌های مختلف جنس *Rotorbinella sp. nov.* نظیر، *Rotorbinella campaniola* و گونه‌های مختلف جنس *Pararotalia tuberculifera*, *Pararotalia* نظیر *Pararotalia spp* و *Pararotalia boixae* معروفی شده است. ضخامت این زون زیستی در چاه ۱۴ آب تیمور ۱۳۶ متر (از عمق ۳۰۲ تا عمق ۳۲۳۸) و در چاه ۱ آب تیمور ۱۵۱/۷۲ متر (از عمق ۳۰۶۶/۲۸ تا عمق ۳۲۱۸) می‌باشد. بر اساس جامعه همزیست زیر و موقعیت چینه‌شناسی سن سانتونین تا کامپانین؟ برای این بایوزون تعیین شده است.

جامعه همزیست

Rotorbinella campaniola, *Rotorbinella sp. nov.*, *Pararotalia spp.*, *Pararotalia boixae*, *Pararotalia tuberculifera*, *Iberorotalia sp.*, *Pyrenerotalia sp.*, *Rotorbinella spp.*, *Moncharmontia apenninica*, *Mangashtia viennoti*, *Pleurostomelloides sp.*, *Small Rotalides*, *Spiroplectammina sp.*, *Gavelinella sp.*, *Minouxia sp.*, *miliolidae*, *Macroglobigerinelloides ultramicrus*, *Whiteinella baltica*, *Costellagerina sp.*, *Heterohelix cf. moremani*, *Heterohelix cf. reussi*, *Heterohelix sp.*, *Macroglobigerinelloides sp.*, *Muricohedbergella sp.*, *Whiteinella sp.*, *Calcisphaerula innominata*, *Pithonella ovalis*, *Stomiosphaera sphaerica*, *Calcisphaerula innominata lata*, rudist debris, echinoid debris, bryozoan, comatulid debris

توضیح

با شروع سازند ایلام گونه‌هایی از *Rotalidae* ظاهر می‌شوند که از تفاوت‌های قابل توجهی با فرم‌های سنتومانین- تورونین نظیر *Rotorbinella mesogeensis* دارند، به طوری که برخی از آنها دارای مخروط بلندتر در سطح پشتی و تعداد دورهای پیچش بیشتر می‌باشند. این فرم‌ها در مطالعات قبلی به طور عمده به *Rotalia skourensis* نسبت داده می‌شد و وايند *Rotalia* sp. (آنها را تحت عنوان 22 Wynd, 1965)

جامعه همزیست

Rotorbinella mesogeensis, *Nezzazata concava*, *Nezzazata simplex*, *Nezzazata conica*, *Nezzazata gyra*, *Simplalveolina simplex*, *Ovalveolina ovum*, *Cisalveolina fallax*, *Praealveolina cretacea*, *Pseudorhipidionina casertana*, *Praetaberina bingistani*, *Vidalina radoicaceae*, *Carinoconus iraqiensis*, *Nummoloculina heimi*, *Heterocoskinolina ruskei*, *Cycledomia iranica*, *Dicyclina qatarensis*, *Biconcava bentori*, *Fischerina carinata*, *Nummoloculina regularis*, *Merlingina cretacea*, *Chrysalidina gradata*, *Spiroloculina cretacea*, *Cuneolina pavonia*, *Trochospira avnimelechi*, *Pseudocyclammina rugosa*, *Palaeosigmoilopsis apenninica*, *Dicyclina schlumbergeri*, *Biplanata peneropliformis*, *Pseudolituonella reicheli*, *Murgeina apula*, *Coxites zubairensis*, *Marssonella oxycona*, *Mangashtia viennoti*, *Nezzazatinella picardi*, *Neoiraqia insolita*, *Multispirina iranensis*, *Dicyclina sampoi*, *Daxia cenomana*, *Edomia reicheli*, *Meandropsina vidali*, *Bolivinopsis capitata*, *Mayncina orbignyi*, *Moncharmontia apenninica*, *Sigmomassilina ottadunensis*, *Rotorbinella* sp. nov., *Favusella washitensis*, *Heterohelix reussi*, *Macroglobigerinelloides bentonensis*, *Heterohelix moremani*, *Calcisphaerula innominata lata*, *Calcisphaerula innominata*, *Stomiosphaera sphaerica*, *echinoid debris*, *comatulid debris*, *ecinoid spine*, *dasycladalean algae*, *Thaumatoporella parvovesiculifera*, *Decastronema kotori*, *rudist debris*, *shell fragments*, *ostracoda*, *gastropoda*, *bryozoan*.

توضیح

اگرچه خسرو تهرانی و همکاران (۱۳۸۸) در برش عسلویه سن *Rotorbinella mesogeensis* را سنومانین میانی-پسین تعیین کرده است و بویکس (Boix, 2007) آن را معادل با زون *Rotalia cushmani* با سن سنومانین میانی-پسین گزارش نموده است؛ ولی غامم و همکاران (Ghanem et al., 2012) آن را از رشته کوههای ساحلی سوریه به سن سنومانین-تورونین معرفی کرده‌اند. در برش‌هایی مورد مطالعه میدان آب تیمور نیز به‌واسطه قرارگیری راس این بایوزون در زون زیستی ۲۹ وايند و با توجه به حضور *Moncharmontia apenninica* در این زون سن آن سنومانین-تورونین پیشنهاد می‌شود.

می‌باشد بر اساس جامعه همزیست خود چون Ass. Zone *Dicyclina* نظیر *Nezzazatinella picardi* و گونه‌های جنس *Dicyclina* *qatarensis* و *Dicyclina schlumbergeri* تعریف شده است. ضخامت این زون زیستی در چاههای ۱۴ و ۱۵ میدان نفتی آب تیمور به ترتیب ۸۴ متر (از عمق ۲۲۳۸ تا ۳۳۲۲) و ۶۲ متر (از عمق ۳۲۸۰ تا ۳۲۱۸) می‌باشد. با توجه به جامعه همزیست زیر و وجود *Moncharmontia apenninica* در بین آنها و همچنین قرارگیری این بایوزون بر روی بایوزون ۲۵ وايند (Wynd, 1965) با سن سنومانین، سن آن تورونین پیشنهاد می‌شود.

جامعه همزیست

Dicyclina schlumbergeri, *Nezzazatinella picardi*, *Moncharmontia apenninica*, *Rotorbinella mesogeensis*, *Dicyclina qatarensis*, *Cuneolina pavonia*, *Palaeosigmoilopsis apenninica*, *Mangashtia viennoti*, *Daxia cenomania*, *Bolivinopsis capitata*, *Sigmomassilina ottadunensis*, *Rotorbinella* sp. nov., *Nezzazata simplex*, *Marssonella oxycona*, *Heterohelix moremani*, *Macroglobigerinelloides bentonensis*, *Calcisphaerula innominata lata*, *Thaumatoporella parvovesiculifera*, *Decastronema kotori*, *gastropoda*, *shell fragments*, *rudist debris*, *ecinoid spine*, *ostracoda*, *comatulid debris*, *coral debris*, *echinoid debris*

بایوزون ۳

Biozone 3- *Rotorbinella mesogeensis Total Range Zone*
این زون زیستی بر اساس محدوده گسترش گونه *Rotorbinella mesogeensis* تعریف شده است. این زون در چاه ۱ در حد فاصل اعماق ۳۷۲۴ تا ۳۲۱۹ متر به ضخامت ۵۰۵ متر و در چاه ۱۴ بین اعماق ۳۴۳۹ تا ۳۲۴۸ متر به ضخامت ۱۹۱ متر شناسایی شد. اختلاف ضخامت این زون به دلیل عدم حفاری تا قاعده سازند سروک در چاه ۱۴ است. بایوزون ۳ معادل با بخشی از بایوزون ۴ و تمامی بایوزون ۲ است.

زون‌های زیستی معرفی شده فوق و نمودارهای پراکنده‌گی فسیلی مربوط به چاههای ۱۴ و ۱۵ به ترتیب در شکل‌های ۲ و ۳ قابل مشاهده است. همچنین تصاویر برخی از فرامینیفرهای شناسایی شده از سازندهای سروک و ایلام در دو برش مورد مطالعه در پلیت‌های ۱ تا ۶ ارائه شده است.

نتیجه‌گیری

سازند ایلام در دو برش چینه‌ای آب تیمور ۱ و ۱۴ به ترتیب ۱۵۱/۷۲ و ۱۳۶ متر ضخامت دارد و از لحاظ لیتولوژی به طور عمده از سنگ آهک و سنگ آهک با میان لایه‌های شیلی تشکیل شده است. مرز زیرین آن در هر دو چاه با سازند سروک ناپیوسته هم‌شیب و مرز بالای آن نیز با سازند گوری هم‌شیب و همراه با تغییرات لیتولوژی واضح می‌باشد. سازند سروک در برش آب تیمور ۱ دارای ۸۱۲/۹۸ متر ضخامت می‌باشد؛ ولی در برش آب تیمور ۱۴ به دلیل عدم حفاری تا انتهای سروک، ضخامت نامشخص دارد و فقط ۲۳۸ متر از آن حفاری شده است و از لحاظ لیتولوژی به طور عمده از سنگ آهک و سنگ آهک دولومیتی تشکیل شده است. مرز زیرین سازند سروک در برش آب تیمور ۱ با سازند کژدمی هم‌شیب و همراه با تغییرات لیتولوژی واضح است. به طوری که شیل‌های سازند کژدمی به سنگ آهک‌های قاعده سازند سروک تغییر می‌یابد؛ ولی در برش آب تیمور ۱۴ به دلیل عدم حفاری تا انتهای سازند سروک، مرز زیرین آن نامشخص است.

در مطالعات زیست چینه‌ای دو سازند سروک و ایلام ضمن تشخیص ۷۱ گونه متعلق به ۵۷ جنس از فرامینیفرها، چهار بایوزون زیر‌شناسایی گردید که یک بایوزون (۱) متعلق به سازند ایلام و سه بایوزون (۲ و ۳ و ۴) متعلق به سازند سروک است.

1. *Rotorbinella-Pararotalia* Assemblage Zone
2. *Nezazzatinella picardi-Dicyclina schlumbergeri* Assemblage Zone

3. *Rotorbinella mesogeensis* Total Range Zone

4. *Nezazzata-alveolinid* Assemblage Zone

بر اساس مجموعه فسیلی و بایوزون‌های شناسایی شده سن سازند سروک در دو برش مورد مطالعه سномانین-تورونین و سن سازند ایلام سانتونین-کامپانین؟ تعیین شد.

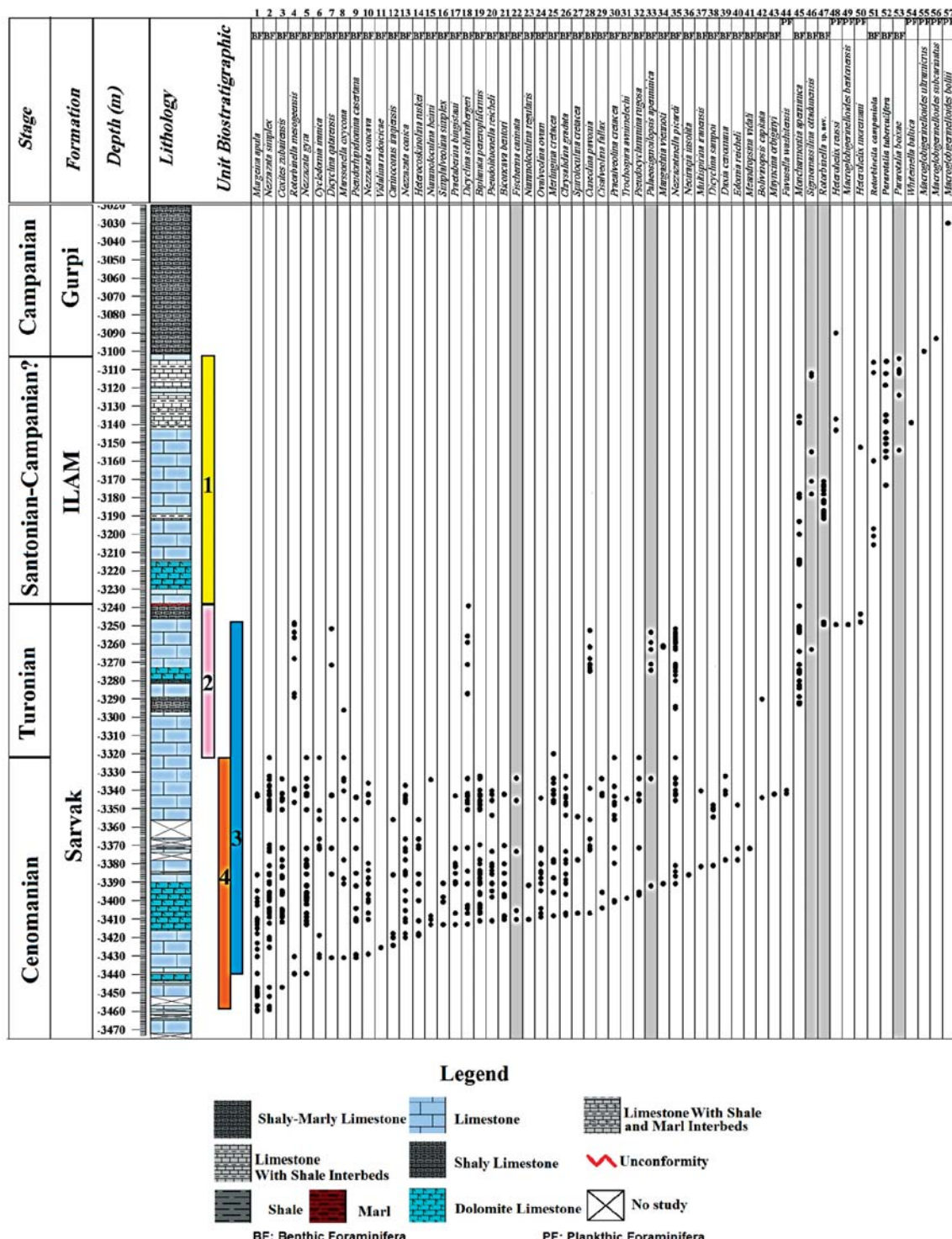
بایوزون ۴

Biozone 4- *Nezazzata-alveolinid* Assemblage Zone

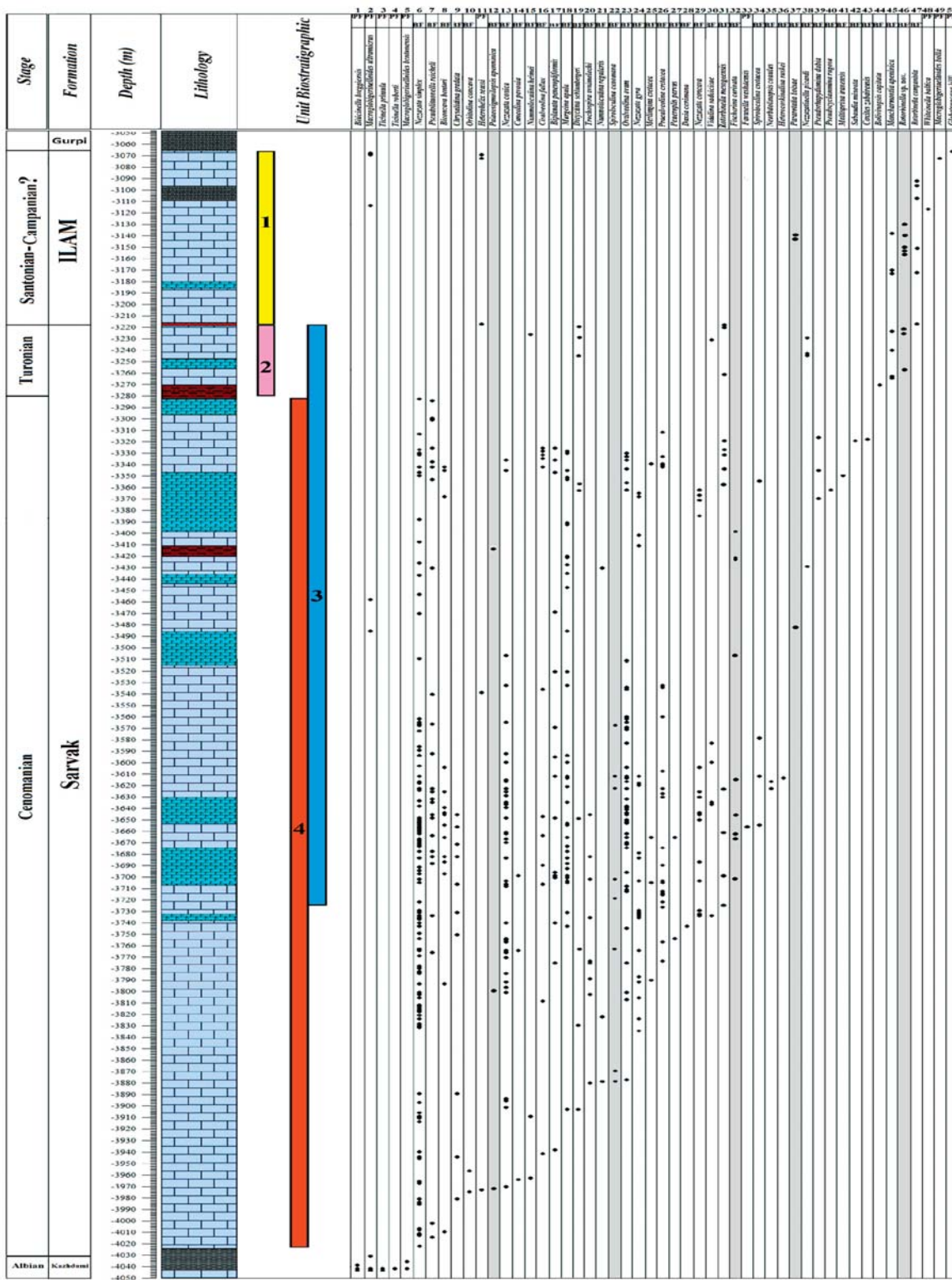
این زون زیستی تجمعی که منطبق است با زون زیستی ۲۵ *Nezazzata* (Wynd, 1956) تحت عنوان- *alveolinid* Assemblage Zone فرامینیفرهای شاخصی همچون *Nezazzata conica*, *Nezazzata simplex*, *Nezazzata gyra*, *Nezazzata concave*, *Ovalveolina ovum*, *Cisalveolina fallax*, *Praealveolina cretacea*, *Simplalveolina simplex* و *Jamesaea* همزیست زیر تعریف شده است. این زون در چاه ۱ که حفاری تا قاعده سازند سروک ادامه داشته است ۷۵۸ متر (از عمق ۳۲۸۲ تا ۴۰۴۰ متر) ضخامت دارد ولی در چاه ۱۴ به دلیل عدم حفاری تا قاعده سازند سروک فقط ۱۳۵ متر از آن قابل مشاهده است. سن این زون زیستی سnomanin پیشنهاد می‌شود.

جامعه همزیست

Pseudorhipidionina casertana, *Praetaberina bingistani*, *Vidalina radoicicae*, *Carinoconus iraqiensis*, *Nummoloculina heimi*, *Heterocoskinolina ruskei*, *Cycledomia iranica*, *Dicyclina qatarensis*, *Biconcava bentori*, *Fischerina carinata*, *Nummoloculina regularis*, *Merlingina cretacea*, *Chrysalidina gradata*, *Spiroloculina cretacea*, *Cuneolina pavonia*, *Trochospira avnimelechi*, *Pseudocyclammina rugosa*, *Palaeosigmaoilopsis apenninica*, *Dicyclina schlumbergeri*, *Biplanata peneropliformis*, *Pseudolituonella reicheli*, *Murgeina apula*, *Coxites zubairensis*, *Marssonella oxycona*, *Mangashzia viennoti*, *Nezazzatinella picardi*, *Neoiraqia insolita*, *Multispirina iranensis*, *Dicyclina sampoi*, *Daxia cenomana*, *Edomia reicheli*, *Meandropsina vidali*, *Bolivinopsis capitata*, *Mayncina orbignyi*, *Rotorbinella mesogeensis*, *Favusella washitensis*. *Calcsphaerula innominata lata*, *Calcsphaerula innominate*, *Stomiosphaera sphaerica*. echinoid debris, comatulid debris, ecinoid spine, dasycladalean algae, *Thaumatoporella parvovesiculifera*, rudist debris, shell fragments, triaxon sponge spicules, sponge debris, ostracoda, gastropoda, bryozoan.



شکل ۲. نمودار پراکندگی فرامینیفرهای سازنده‌های سروک و ایلام در میدان نفتی آب تیمور (چاه ۱۴)



شکل ۳. نمودار پراکندگی فرامینیفرهای سازندهای سروک و ایلام در میدان نفتی آب تیمور (چاه ۱)

Plate-1

No. Fig.	Name of fossil	Depth (m)	Well no.	Formation	Stage
Fig.1	Murgeina apula	3386	AT14	Sarvak	Cenomanian
Fig.2	Murgeina apula	3402.5	AT14	Sarvak	Cenomanian
Fig.3	Biconcava bentori	3396.8	AT14	Sarvak	Cenomanian
Fig.4	Daxia cenimana	3377.85	AT14	Sarvak	Cenomanian
Fig.5	Mayncina orbiginyi	3342	AT14	Sarvak	Cenomanian
Fig.6	Biplanata peneropliformis	3347	AT14	Sarvak	Cenomanian
Fig.7	Merlingina cretacea	3345.5	AT14	Sarvak	Cenomanian
Fig.8	Nezzazata gyra	3377.85	AT14	Sarvak	Cenomanian
Fig.9	Nezzazata simplex	3381	AT14	Sarvak	Cenomanian
Fig.10	Nezzazata conica	3366.55	AT14	Sarvak	Cenomanian
Fig.11	Nezzazata concave	3396.6	AT14	Sarvak	Cenomanian
Fig.12	Nezzazatinella picardi	3386.64	AT14	Sarvak	Cenomanian

Plate-2

No. Fig.	Name of fossil	Depth (m)	Well no.	Formation	Stage
Fig.1	Trochospira avnimelechi	3645.4	AT1	Sarvak	Cenomanian
Fig.2	Coxites zubairensis	3317.74	AT1	Sarvak	Cenomanian
Fig.3	Mangashtia viennoti	3390.8	AT14	Sarvak	Cenomanian
Fig.4	Moncharmontia apenninica	3253.6	AT14	Sarvak	Turonian
Fig.5	Pseudocyclammina rugosa	3345.5	AT14	Sarvak	Cenomanian
Fig.6	Bolivinopsis capitata	3344	AT14	Sarvak	Cenomanian
Fig.7	Cuneolina pavonia	3371.6	AT14	Sarvak	Cenomanian
Fig.8	Sabaudia minouta	3319.27	AT1	Sarvak	Cenomanian
Fig.9	Dicyclina schlumbergeri	3343	AT14	Sarvak	Cenomanian
Fig.10	Dicyclina qatarenensis	3251.6	AT14	Sarvak	Turonian
Fig.11	Dicyclina sampoi	3381	AT14	Sarvak	Cenomanian
Fig.12	Pseudolituonella reicheli	3345.5	AT14	Sarvak	Cenomanian

Plate-3

No. Fig.	Name of fossil	Depth (m)	Well no.	Formation	Stage
Fig.1	Carinoconus iraqiensis	3386	AT14	Sarvak	Cenomanian
Fig.2	Heterocoskinalina ruskei	3356	AT14	Sarvak	Cenomanian
Fig.3	Neoiraqia insolita	3386	AT14	Sarvak	Cenomanian
Fig.4	Orbitolina concave	3974.59	AT1	Sarvak	Cenomanian
Fig.5	Marssonella oxycona	3296.1	AT14	Sarvak	Turonian
Fig.6	Chrysalidina gradate	3377.85	AT14	Sarvak	Cenomanian
Fig.7	Vidalina radoicicae	3425.45	AT14	Sarvak	Cenomanian
Fig.8	Fischerina carinata	3666.74	AT1	Sarvak	Cenomanian
Fig.9	Spiroloculina cenomana	3869.43	AT1	Sarvak	Cenomanian
Fig.10	Spiroloculina cretacea	3578.35	AT1	Sarvak	Cenomanian
Fig.11	Palaeosigmoilopsis apenninica	3259.1	AT14	Sarvak	Turonian
Fig.12	Sigmomassilina ottadunensis	3112	AT14	Ilam	Santonian-Campanian?

Plate-4

No. Fig.	Name of fossil	Depth(m)	Well no.	Formation	Stage
Fig.1	Nummuloculina heimi	3334.15	AT14	Sarvak	Cenomanian
Fig.2	Nummuloculina regularis	3391.64	AT14	Sarvak	Cenomanian
Fig.3	Cisalveolina fallax	3395.5	AT14	Sarvak	Cenomanian
Fig.4	Multispirina iranensis	3340.25	AT14	Sarvak	Cenomanian
Fig.5	Ovalveolina ovum	3404.15	AT14	Sarvak	Cenomanian
Fig.6	Praealveolina cretacea	3355.7	AT14	Sarvak	Cenomanian
Fig.7	Simplalveolina simplex	3413	AT14	Sarvak	Cenomanian
Fig.8	Peneroplis parvus	3665.22	AT1	Sarvak	Cenomanian
Fig.9	Meandropsina vidali	3371.75	AT14	Sarvak	Cenomanian
Fig.10	Cycledomia iranica	3356	AT14	Sarvak	Cenomanian
Fig.11	Edomia reicheli	3377.85	AT14	Sarvak	Cenomanian
Fig.12	Praetaberina bingistani	3390.64	AT14	Sarvak	Cenomanian

Plate-5

No. Fig.	Name of fossil	Depth(m)	Well no.	Formation	Stage
Fig.1	Pseudorhipidionina casertana	3385.1	AT14	Sarvak	Cenomanian
Fig.2	Pseudorhapydionina dubia	3345.18	AT1	Sarvak	Cenomanian
Fig.3	Heterohelix moremani	3152.5	AT14	Ilam	Santonian-Campanian?
Fig.4	Heterohelix reussi	3137	AT14	Ilam	Santonian-Campanian?
Fig.5	Macroglobigerinelloides bollii	3030	AT14	Gurpi	Campanian
Fig.6	Macroglobigerinelloides subcarinatus	2876	AT1	Gurpi	Campanian
Fig.7	Macroglobigerinelloides ultramicrus	4043.17	AT1	Kazhdumi	Albian
Fig.8	Macroglobigerinelloides bentonensis	4035.55	AT1	Kazhdumi	Albian
Fig.9	Whiteinella baltica	3139	AT14	Ilam	Santonian-Campanian?
Fig.10	Favusella washitensis	3339.85	AT14	Sarvak	Cenomanian
Fig.11	Biticinella breggiensis	4038.6	AT1	Kazhdumi	Albian
Fig.12	Ticinella roberti	4041.64	AT1	Kazhdumi	Albian

Plate-6

No. Fig.	Name of fossil	Depth(m)	Well no.	Formation	Stage
Fig.1	Ticinella primula	4043.17	AT1	Kazhdumi	Albian
Fig.2	Globotruncana arca	2876	AT1	Gurpi	Campanian
Fig.3	Globotruncana hilli	2892	AT1	Gurpi	Campanian
Fig.4	Globotruncanita stuartiformis	2854	AT1	Gurpi	Campanian
Fig.5	Pararotalia tuberculifera	2940	AT1	Gurpi	Campanian
Fig.6	Pararotalia boixae	3112	AT14	Ilam	Santonian-Campanian?
Fig.7	Rotorbinella mesogeensis	3248.5	AT14	Sarvak	Turonian
Fig.8	Rotorbinella campaniola	3111	AT14	Ilam	Santonian-Campanian?
Fig.9	Rotorbinella sp. nov.	3130.29	AT1	Ilam	Santonian-Campanian?

Plate-1

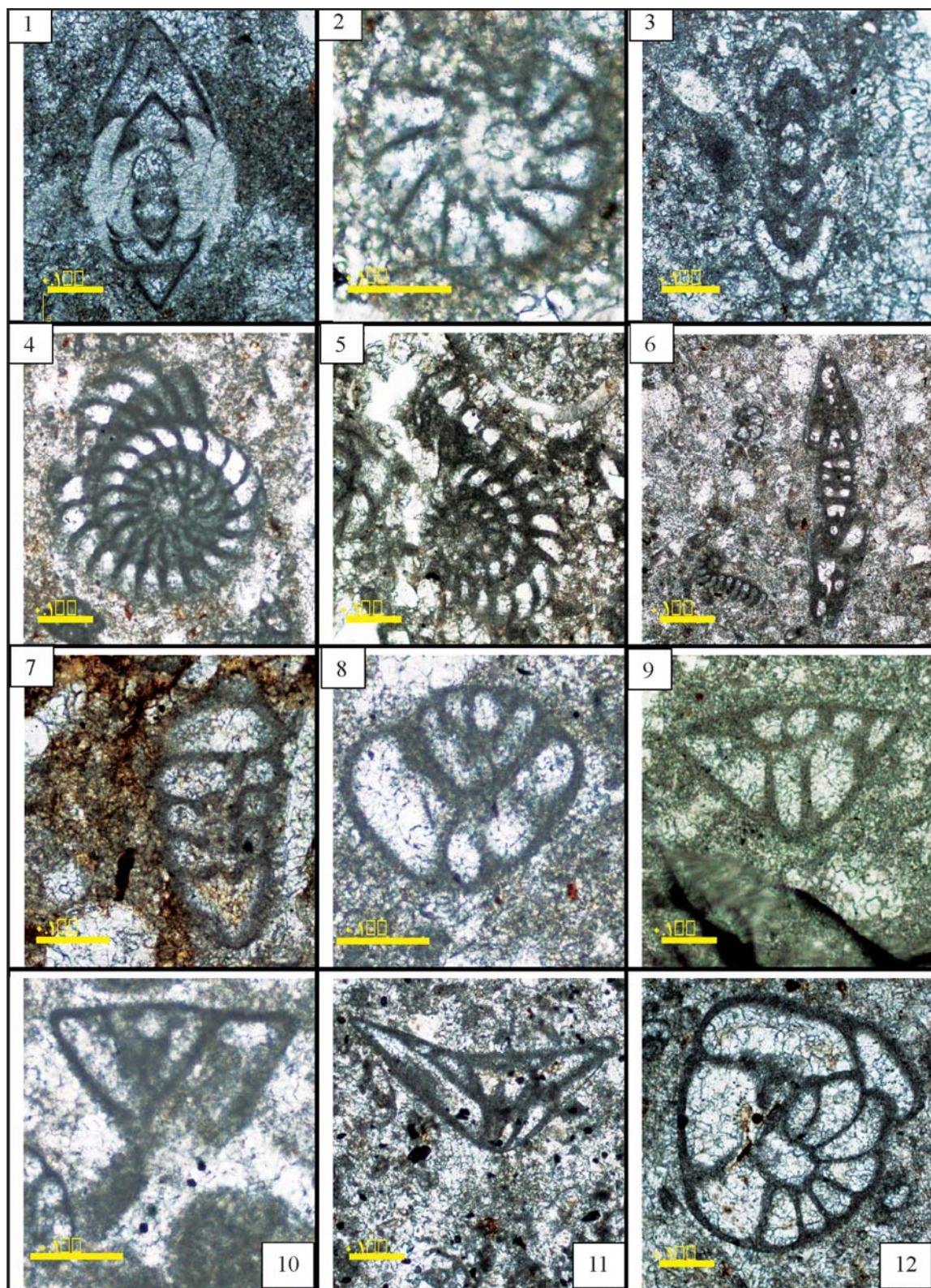


Plate-2

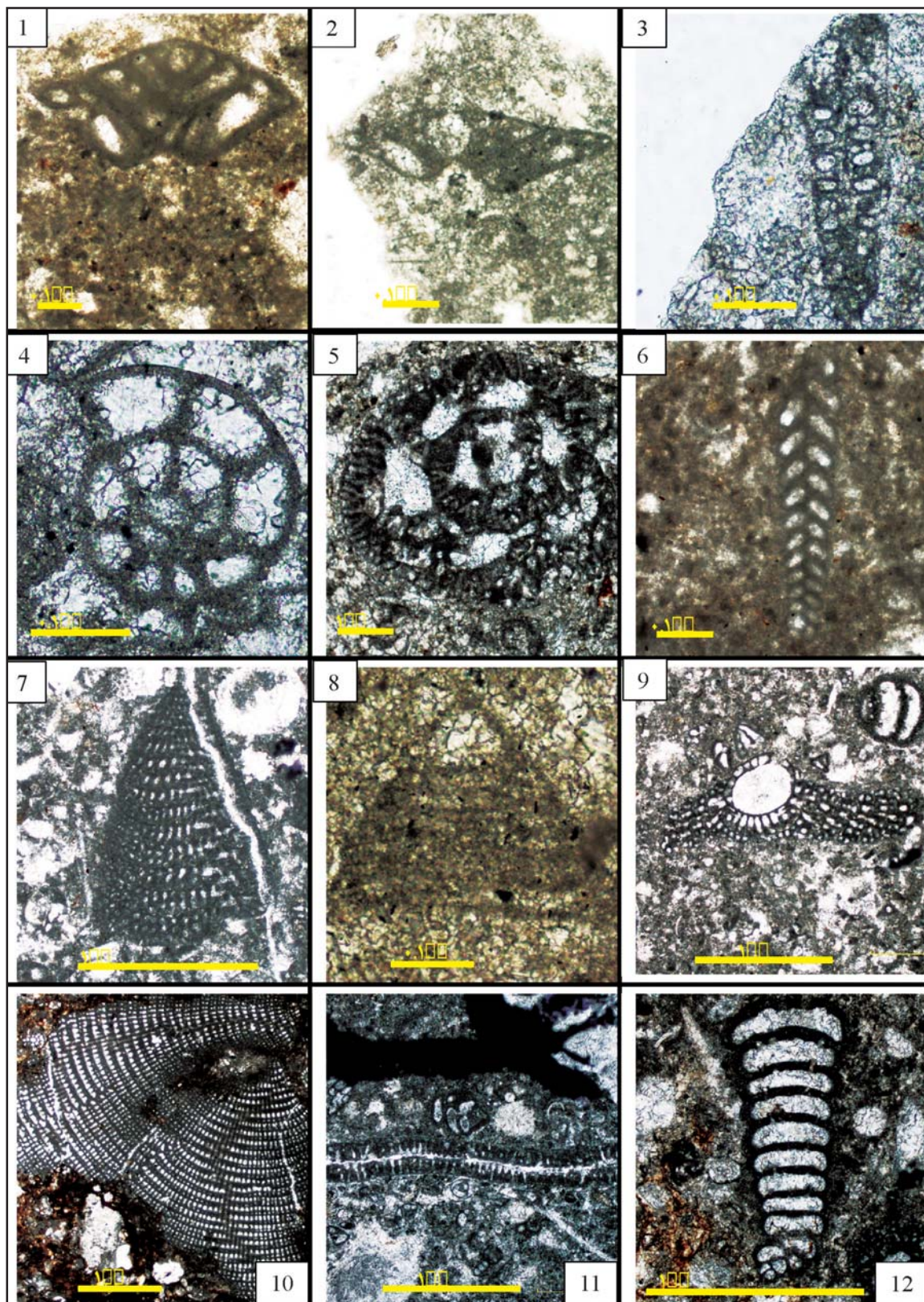


Plate-3

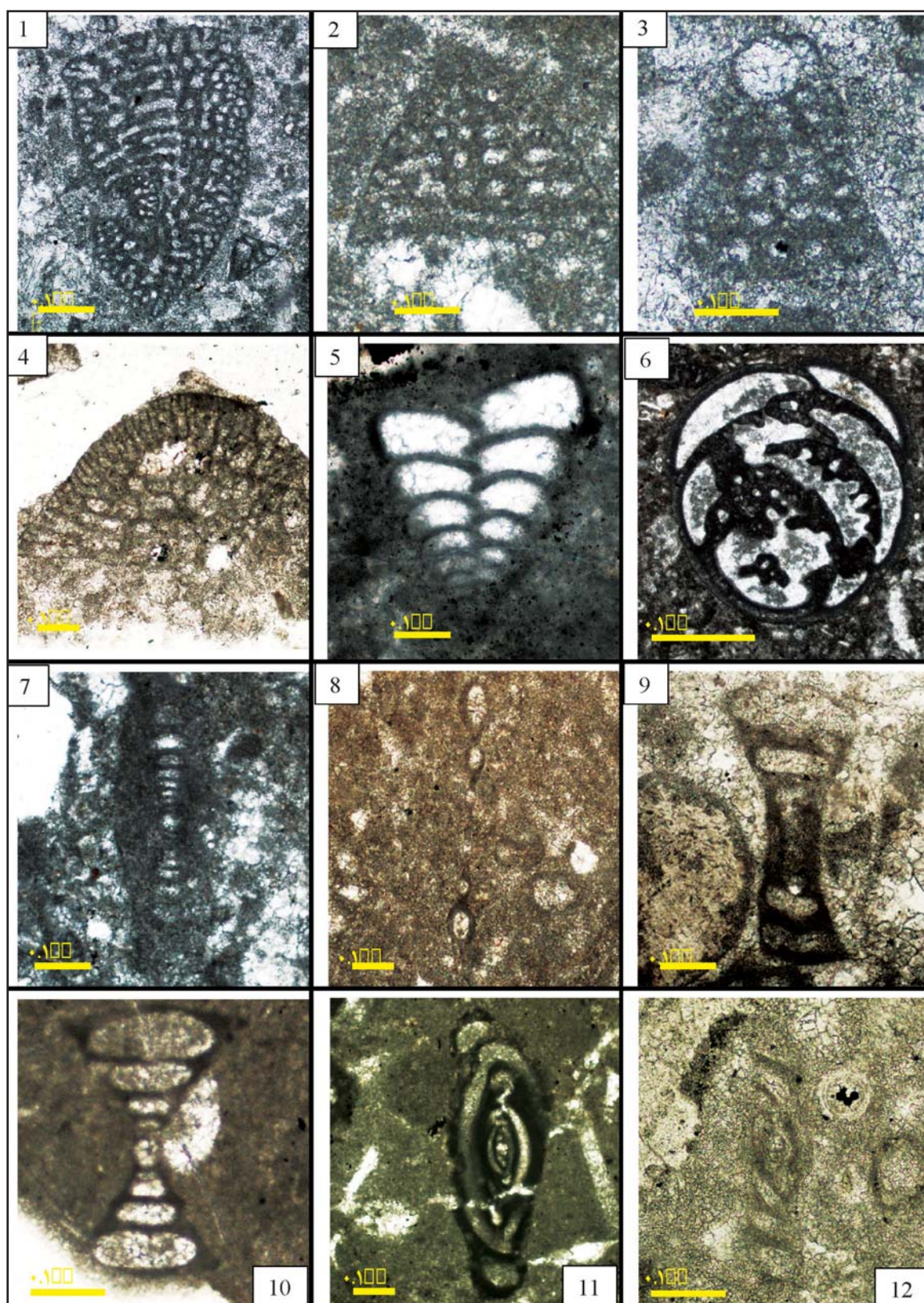


Plate-4

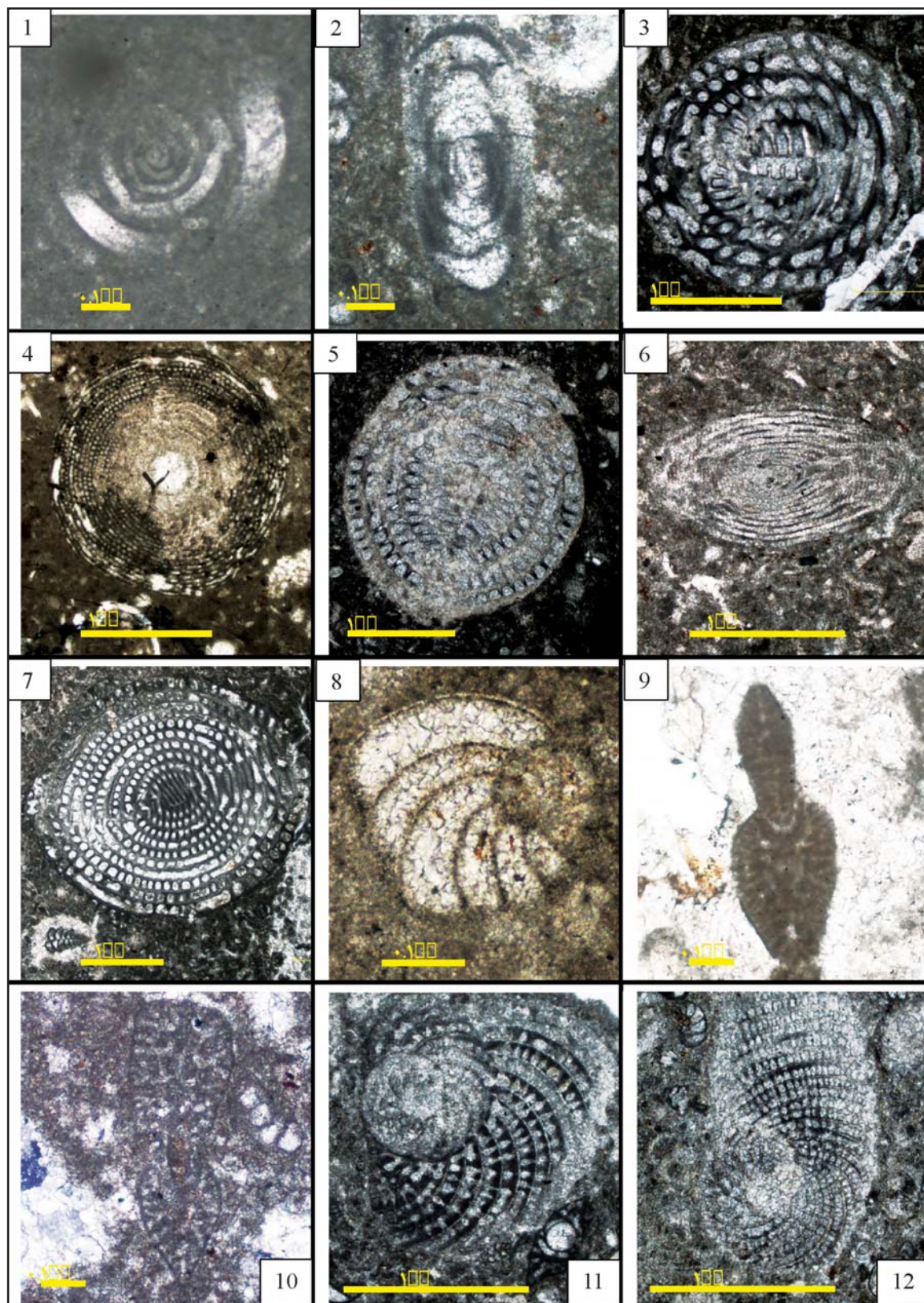


Plate-5

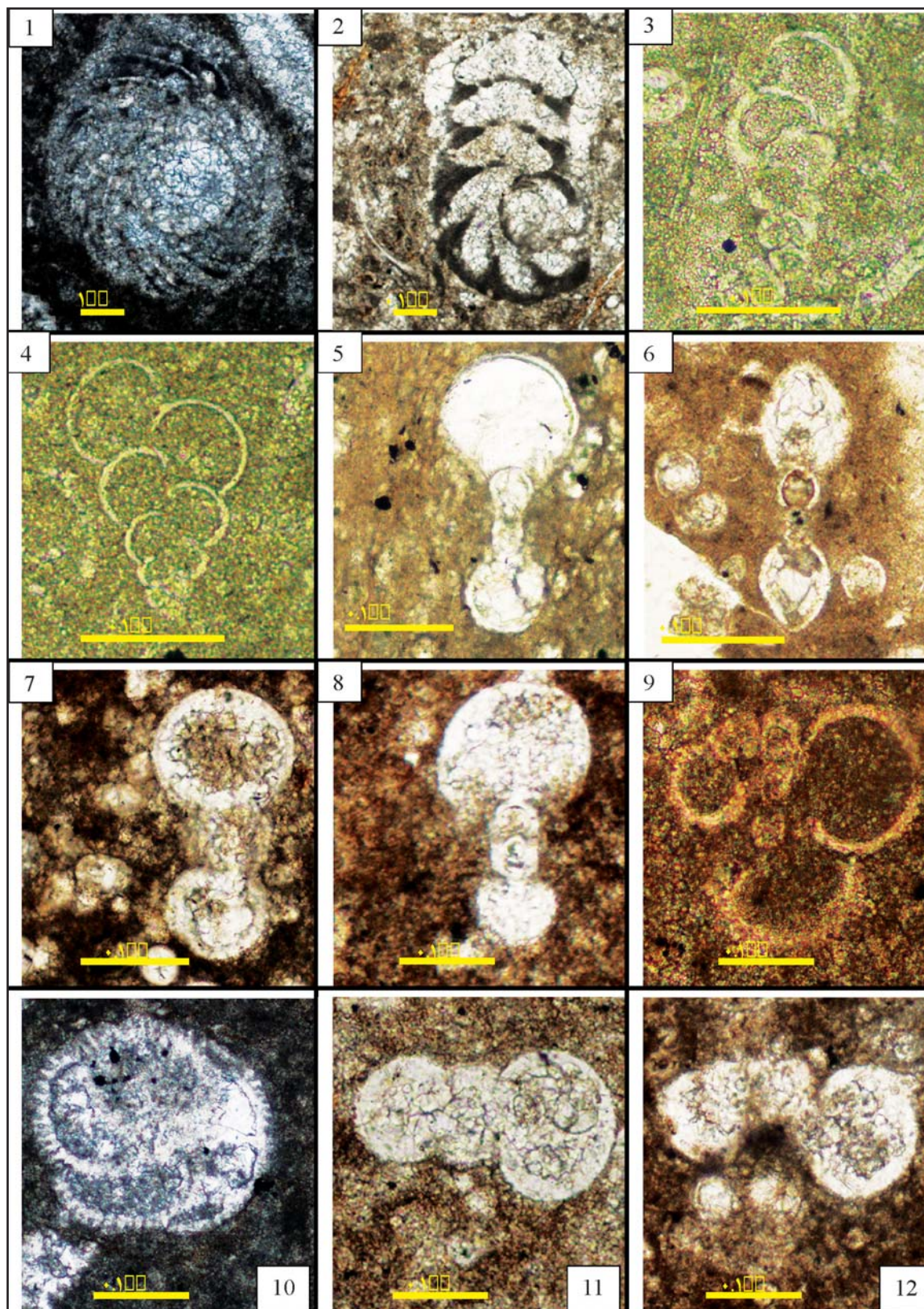
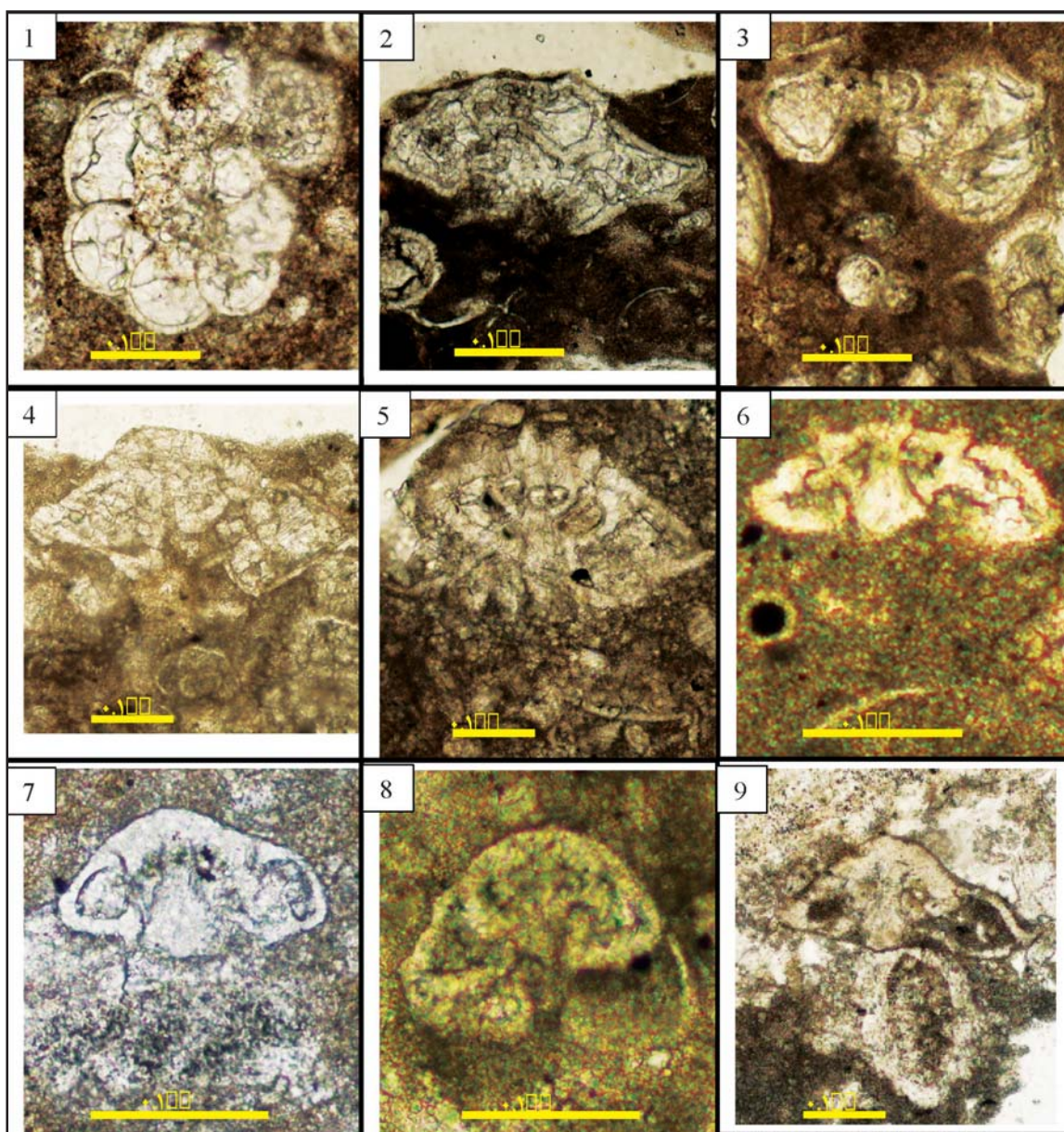


Plate-6



منابع

- افشار حرب، ع.، ۱۳۸۰. زمین‌شناسی نفت ایران. جزوه آموزشی دانشکده فنی، دانشگاه تهران.
- اکبر بس کلایه، ن. و طاهری، م.، ۱۳۸۵. مطالعه رسوبات تورونین سازند سروک در میدان نفتی آب تیمور چاه شماره ۱۴. دهمین همایش انجمن زمین‌شناسی ایران.
- اکبری، ن. و طاهری، م.، ۱۳۸۴. بیواستراتیگرافی و میکروبیولوژی چاه آب تیمور-۱۴. گزارش شماره
- پ. ۵۶۰۷، معاونت مدیر- زمین‌شناسی گسترشی- شرکت مناطق نفت خیز جنوب. منتشر نشده.
- امیری بختیار، ح.، ۱۳۷۰. تفسیر بیواستراتیگرافی سازندهای سروک و ایلام در منطقه ایذه (شمال شرق خوزستان) و مقایسه آن با منطقه سمیرم. پایان نامه کارشناسی ارشد، دانشگاه تهران، ۲۳۱.
- آق، ی.، ۱۳۸۴. میکرواستراتیگرافی سازندهای

- کامیابی شادان، ح.، ۱۳۸۴. میکرواستراتیگرافی سازندهای سروک و ایلام با تأکید بر مرز آنها در کوه بنگستان و میدان نفتی منصوری. پایان‌نامه کارشناسی ارشد، دانشگاه شهید بهشتی تهران، ۱۸۶.
- چلدایی، ع.، ۱۳۸۵. لیتواستراتیگرافی و بیواستراتیگرافی رسوبات کرتاسه‌ای در میدان نفتی رگ‌سفید با تأکید بر عملکرد فاز کوه‌زایی ساب هرسینین. رساله کارشناسی ارشد، دانشگاه شهید بهشتی، ۲۲۴.
- خسرو تهرانی، خ.، باغبانی، د.، کشانی، ف. و عمرانی، م.، ۱۳۸۸. یافته‌های نوین در چینه نگاری زیستی سازند ایلام در کوه عسلویه. مجله علوم زمین، ۷۸، ۵۳-۶۰.
- سبکرو، م.، ۱۳۸۷. میکرواستراتیگرافی سازندهای سروک و ایلام با تأکید بر مرز آنها در کوه بنگستان و میدان نفتی منصوری. پایان‌نامه کارشناسی ارشد، دانشگاه شهید بهشتی تهران، ۱۸۶.
- سجادی، ف.، امیدوار، م.، ۱۳۹۰. بیواستراتیگرافی و تعیین مرز سازند سروک و بخش زیرین سازند ایلام در میدان‌های نفتی مارون و آب تیمور. پانزدهمین همایش انجمن زمین‌شناسی ایران، تهران، دانشگاه تربیت معلم.
- صادقی، ع.، قلاوند، ه.، کامیابی شادان، ح. و آق، ی.، ۱۳۸۵. میکرواستراتیگرافی سازند سروک با تأکید بر مرز آلبین-سنومانین در برش نمونه سازند سروک (شمال غرب بهبهان) و قلعه کژدمک (شمال شرق ایذه). نشریه دانشکده علوم زمین، دانشگاه شهید بهشتی، ۷۱-۹۰.
- غبیشاوی، ع.، ۱۳۸۷. چینه‌شناسی سازندهای سلوک و ایلام در تاقدیس بنگستان و میدان پارسی. پایان‌نامه دکترا، دانشگاه اصفهان، ۲۲۱.
- غبیشاوی، ع. و رحمانی، ع.، ۱۳۸۵. سکانس استراتیگرافی سازندهای ایلام و سروک در میدان نفتی آب تیمور (چاه شماره ۱۴۰). گزارش شماره پ-۵۹۱۸، شرکت ملی مناطق نفت خیز جنوب، ۶۷، منتشر نشده.
- قلاوند، ه.، ۱۳۸۸. لیتواستراتیگرافی و بیواستراتیگرافی سازندهای سروک و ایلام در بخش شمال شرقی فروافتادگی دزفول و مقایسه آنها با مقاطع تحت الارضی مجاور. پایان‌نامه دکترا، دانشگاه شهید بهشتی تهران، ۴۵۴.
- قلاوند، ه.، شمیرانی، ا.، صادقی، ع. و آدابی، م.، ۱۳۸۶. مطالعه میکروفاسیس‌ها و محیط رسوبی سازند ایلام در تاقدیس کمستان شمال غرب ایذه. یازدهمین همایش انجمن زمین‌شناسی ایران، دانشگاه فردوسی مشهد.

- Neotethys (p. 196). D. Bassi (Ed.). Switzerland: Springer.
- Loeblich, A.R. and Tappan, H., 1988. Foraminiferal Genera and their Classification. 2Van Nostrand Reinhold. New York, 847.
 - Omidvar, M., Mehrabi, H., Sajjadi, F., Bahramizadeh-Sajjadi, H., Rahimpour-Bonab, H. and Ashrafzadeh, A., 2014. Revision of the foraminiferal biozonation scheme in Upper Cretaceous carbonates of the Dezful Embayment, Zagros, Iran: Integrated palaeontological, sedimentological and geochemical investigation. *Revue de Micropaleontologie*, 57, 3, 97-116.
 - Piuz, A. and Meister, C., 2013. Cenomanian rotaliids (Foraminiferida) from Oman and Morocco. *Swiss Journal of Palaeontology*, 132, 2, 81-97.
 - Premoli Silva, I. and Verga, D., 2004. Practical Manual of Cretaceous Planktonic Foraminifera. International School on Planktonic Foraminifera, 3(0).
 - Speers, R.G., 1976. Review of the geology of the Bangestan reservoirs Ab-Teymour and Mansouri fields. Report No. P-3021, N.I.O.C
 - Wynd, J.G., 1965. Biofacies of the Iranian oil consortium agreement area. IOOC report, 1082.